

## 蛇足石杉中非生物碱类化学成分研究

郑凯凯, 赵圆圆, 袁谱龙, 吴迎春, 张刘强, 郭夫江, 李医明\*

上海中医药大学 中药化学教研室, 上海 201203

**摘要:** 目的 研究蛇足石杉 *Huperzia serrata* 全草的非生物碱类化学成分。方法 利用硅胶、反相硅胶、Sephadex HL-20 等柱色谱进行分离纯化, 通过核磁共振、质谱等谱学数据鉴定化合物结构。结果 从蛇足石杉二氯甲烷部位分离得到 11 个化合物, 分别鉴定为千层塔烯二醇-21 $\beta$ -对二氯香豆酸酯(1)、千层塔烯二醇-3,21-二乙酸酯(2)、千层塔烯二醇-3-乙酸酯(3)、21-表千层塔烯二醇-3-乙酸酯(4)、3 $\alpha$ ,21 $\beta$ -24-千层塔烯三醇(5)、21-表千层塔烯二醇(6)、千层塔烯二醇(7)、16-羰基-3 $\alpha$ ,21 $\beta$ -千层塔烯二醇(8)、3 $\beta$ ,21 $\beta$ ,24-千层塔烯三醇(9)、16-羰基-3 $\alpha$ ,21 $\beta$ ,24-千层塔烯三醇(10)、1-羟基二苯并呋喃醇(11)。

**结论** 化合物 1~10 均为石杉型三萜类化合物, 化合物 11 为二苯并呋喃醇类化合物; 其中 1 为新化合物, 命名为千层塔型香豆酸酯, 化合物 2 和 11 首次从该植物中分离得到。

**关键词:** 石杉属; 蛇足石杉; 非生物碱; 石杉型三萜; 二苯并呋喃醇; 千层塔型香豆酸酯; 千层塔烯二醇-3,21-二乙酸酯; 1-羟基二苯并呋喃醇

中图分类号: R284.1 文献标志码: A 文章编号: 0253-2670(2016)01-0015-06

DOI: 10.7501/j.issn.0253-2670.2016.01.003

## Chemical constituents of non-alkaloids from *Huperzia serrata*

ZHENG Kai-kai, ZHAO Yuan-yuan, YUAN Pu-long, WU Ying-chun, ZHANG Liu-qiang, GUO Fu-jiang, LI Yi-ming

Department of Phytochemistry, Shanghai University of Traditional Chinese Medicine, Shanghai 201203, China

**Abstract: Objective** To investigate the non-alkaloids in *Huperzia serrata*. **Methods** The constituents were mainly isolated and purified by means of silica gel, RP<sub>18</sub>, and Sephadex LH-20 column chromatographies. The structures were identified based on analyses of the spectral data of NMR and MS. **Results** Totally 11 constituents were obtained from dichloromethane fraction of the plant and they were 3 $\beta$ -hydroxyserrat-14-en-21 $\beta$ -yl-p-dihydrocoumarate (1), seratenediol-3,21-diacetate (2), seratenediol-3-acetate (3), 21-*epi*-seratenediol-3-acetate (4), 3 $\alpha$ ,21 $\beta$ ,24-trihydroxyserrat-14-en (5), 21-*epi*-seratenediol (6), serratenediol (7), 3 $\alpha$ ,21 $\beta$ -dihydroxy-serrat-14-en-16-one (8), 3 $\beta$ ,21 $\beta$ ,24-trihydroxyserrat-14-en (9), 3 $\alpha$ ,21 $\beta$ ,24-trihydroxyserrat-14-en-16-one (10), and 1-dibenzofuranol (11). **Conclusion** Compounds 1—10 are serratene-type triterpenoids and compound 11 is a dibenzofuranol. Compounds 1 is a new compound named as serratcoumarate and compounds 2 and 11 are isolated from the plant for the first time.

**Key words:** *Huperzia* Benth; *Huperzia serrata* (Thunb.) Trev.; non-alkaloids; serratene-type triterpenoids; dibenzofuranol; serratcoumarate; seratenediol-3,21-diacetate; 1-dibenzofuranol

蛇足石杉 *Huperzia serrata* (Thunb.) Trev. 为石松目石杉科石杉属植物, 全草入药, 能退热、止血、消肿解毒、外治肿毒<sup>[1]</sup>。长久以来对于该植物的研究主要集中在生物碱类部分, 研究发现石杉碱甲(huperzine A)是一种很好的乙酰胆碱酯酶抑制剂<sup>[2]</sup>, 具有提高学习和改善老年人记忆功能的作用。除了生物碱之外, 蛇足石杉中还有一类特征化合物, 此

类化合物为石杉型三萜, 与普通的五环三萜相比, 其 C 环一般为七元环, C 环的 C-27 化学位移一般在  $\delta$  56 左右, D 环的 C-14 和 C-15 位形成碳碳双键, 有些化合物的 C-16 位为羰基, 与 C-14 和 C-15 位的双键形成共轭体系, 此外, 此类化合物的 C-3 位和 C-21 位一般分别有 1 个含氧官能团<sup>[3]</sup>。通过查阅文献, 发现石杉型三萜类化合物的药理作用多以抗肿

收稿日期: 2015-10-27

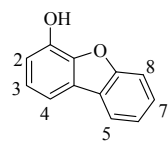
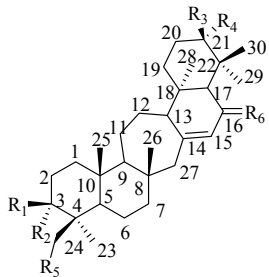
基金项目: 国家自然科学基金资助项目(81261120567); 上海市“科技创新行动计划”(14401901800); 上海市“中药药效物质 E-研究院”项目

作者简介: 郑凯凯(1990—), 男, 河南三门峡人, 硕士在读, 主要从事中药药效物质基础研究。E-mail: zkkzhengkaikai@163.com

\*通信作者 李医明, 教授, 主要从事中药药效物质基础研究。E-mail: yml@shutcm.edu.cn

瘤为主<sup>[4-10]</sup>, 也有文献报道山芝烯二醇具有促进成骨细胞增殖的功能<sup>[11]</sup>。与生物碱类成分的研究相比, 该植物的非生物碱类部分研究报道较少, 为进一步了解该植物, 本实验对其非生物碱类的化学成分进行研究, 分离得到 11 个化合物, 分别鉴定为千层塔烯二醇-21β-对二氢香豆酸酯(3β-hydroxyserrat-14-en-21β-yl-p-dihydrocoumarate, 1)、千层塔烯二醇-3,21-二乙酸酯(serratenediol-3,21-diacetate, 2)、千层塔烯二醇-3-乙酸酯(serratenediol-3-acetate, 3)、21-表千层塔烯二醇-3-乙酸酯(21-*epi*-serratenediol-3-acetate, 4)、3α,21β,24-千层塔烯三醇

(3α,21β,24-trihydroxyserrat-14-en, 5)、21-表千层塔烯二醇(21-*epi*-serratenediol, 6)、千层塔烯二醇(serratenediol, 7)、16-羰基-3α,21β-千层塔烯二醇(3α,21β-dihydroxy-serrat-14-en-16-one, 8)、3β,21β,24-千层塔烯三醇(3β,21β,24-trihydroxyserrat-14-en, 9)、16-羰基-3α,21β,24-千层塔烯三醇(3α,21β,24-trihydroxyserrat-14-en-16-one, 10)、1-羟基二苯并呋喃醇(1-dibenzofuranol, 11)。结构见图 1。化合物 1~10 均为石杉型三萜类化合物, 11 为二苯并呋喃醇类化合物, 其中 1 为新化合物, 命名为千层塔型香豆酸酯; 2 和 11 首次从该植物中分离得到。



11

- 1**  $R_1 = OH, R_2 = R_4 = R_5 = H, R_6 = 2H, R_3 =$
- 2**  $R_1 = R_4 = OAc, R_2 = R_3 = R_5 = H, R_6 = 2H$
- 3**  $R_1 = OAc, R_2 = R_3 = R_5 = H, R_6 = 2H, R_4 = OH$
- 4**  $R_1 = OAc, R_2 = R_4 = R_5 = H, R_6 = 2H, R_3 = OH$
- 5**  $R_1 = R_4, R_2 = R_3 = R_5 = OH, R_6 = 2H$
- 6**  $R_1 = R_3 = OH, R_2 = R_4 = R_5 = H, R_6 = 2H$
- 7**  $R_1 = R_4 = OH, R_2 = R_3 = R_5 = H, R_6 = 2H$
- 8**  $R_1 = R_4 = R_5 = H, R_2 = R_3 = OH, R_6 = O$
- 9**  $R_1 = R_3 = R_5 = OH, R_2 = R_4 = H, R_6 = 2H$
- 10**  $R_2 = R_3 = R_5 = OH, R_1 = R_4 = H, R_6 = O$

图 1 化合物 1~11 的化学结构

Fig. 1 Chemical structures of compounds 1—11

## 1 仪器与材料

HSGF<sub>254</sub> TLC 板(烟台汇友硅胶有限公司); 柱色谱用硅胶(100~200、200~300、300~400 目, 青岛海洋化工厂产品); 反相硅胶(日本 Fuji 硅胶化工有限公司); Sephadex LH-20(Pharmacia 公司); BT-224S 电子天平(Sartorius, 德国)。

药材于 2013 年 7 月采自浙江仙居县, 由中国科学院上海药物研究所马晓强博士鉴定为蛇足石杉 *Huperzia serrata* (Thunb.) Trev. 全草, 标本(1307)保存在上海中医药大学中药化学教研室。

## 2 提取与分离

干燥蛇足石杉全草 20 kg, 用 1% 稀盐酸超声提取 3 次, 每次 1 h。滤过后, 取药渣用 3 倍量 95% 乙醇回流提取 3 次, 每次 2 h。合并乙醇提取液, 浓缩除去乙醇, 浸膏加水稀释至 20 L, 依次用石油醚(20 L×5)、二氯甲烷(20 L×5)、醋酸乙酯(20 L×5)萃取, 得到二氯甲烷萃取物约 250 g。将该萃

取物首先通过硅胶柱, 用石油醚-醋酸乙酯(1:0→0:1)和醋酸乙酯-甲醇(1:0→0:1)体系分为 12 个组分 Fr. A-1~A-12。在石油醚-醋酸乙酯(30:1, 15:1 和 8:1)体系中分别以晶体的方式析出化合物 2(6.4 mg)、3(97.0 mg)和 4(10.0 mg)。Fr. A-10 通过硅胶柱色谱, 以石油醚-醋酸乙酯(20:1→0:1)洗脱, 分离得到 14 个部分 Fr. B-1~B-14。Fr. B-12 通过硅胶柱色谱, 以石油醚-醋酸乙酯(8:1→0:1)洗脱, 得到化合物 5(20.0 mg)。Fr. B-10 通过硅胶柱色谱, 以石油醚-醋酸乙酯(20:1→0:1)洗脱, 得到 Fr. C-1~C-14。Fr. C-13 通过硅胶柱色谱, 以石油醚-醋酸乙酯(8:1→0:1)洗脱, 石油醚-醋酸乙酯(4:1)和石油醚-醋酸乙酯(2:1)洗脱部分分别得到化合物 6(79.0 mg)和 7(400.0 mg)。Fr. C-11 通过硅胶柱色谱, 以二氯甲烷-甲醇(30:1→6:1)洗脱, 再通过 Sephadex LH-20 柱色谱, 以甲醇洗脱, 得到化合物 1(20.0 mg)。Fr. B-10 通

过硅胶柱色谱, 以二氯甲烷-醋酸乙酯(50:1→9:1)梯度洗脱, 得到Fr. D-1~D-10。Fr. D-9通过ODS反相柱以40%甲醇开始进行梯度洗脱, 得到Fr. E-1~E-6。Fr. E-6通过ODS反相柱色谱, 以70%甲醇开始梯度洗脱, 80%甲醇洗脱时得到化合物**8**(25.0 mg)。Fr. B-11通过硅胶柱色谱, 以石油醚-醋酸乙酯(6:1→1:1)洗脱, 得到Fr. F-1~Fr. F-11。Fr. D-10通过ODS反相柱色谱, 以70%甲醇开始洗脱, 87%甲醇洗脱时得到化合物**9**(13.0 mg)。Fr. A-11通过硅胶柱色谱, 以石油醚-醋酸乙酯(100:1→0:1)洗脱, 得到Fr. G-1→G-7。Fr. G-5用ODS反相柱色谱进行分离, 得到化合物**10**(17.0 mg)。Fr. A-7通过硅胶柱色谱, 以石油醚-醋酸乙酯(10:1→0:1)洗脱, 得到Fr. H-1~H-14。Fr. H-14通过Sephadex LH-20柱色谱, 以甲醇为流动相洗脱, 得到化合物**11**(4.0 mg)。

### 3 结构鉴定

化合物**1**: 白色粉末状固体;  $C_{39}H_{58}O_4$ ;  $[\alpha]_D^{19.8} -28.9^\circ$  ( $c$  0.80,  $CHCl_3$ ); EI-MS  $m/z$ : 590 [ $M]^+$ , 575, 424, 409, 391, 203, 189, 107; HR-EI-MS  $m/z$ : 590.433 1 [ $M]^+$  ( $C_{39}H_{58}O_4$ , 计算值 590.433 5); IR  $\nu_{max}^{KBr}$  ( $cm^{-1}$ ): 3 438, 3 266, 2 973, 2 948, 1 707, 1 616, 1 518, 1 451, 1 387, 1 272, 1 232, 1 167, 1 030, 977, 828; 具体的 $^1H$ - 和 $^{13}C$ -NMR 见表1。HR-EI-MS 给出了分子离子峰  $m/z$ : 590.433 1 [ $M]^+$ , 分子式为  $C_{39}H_{58}O_4$  (计算值 590.433 5)。红外光谱中可以看出-OH (3 438  $cm^{-1}$ )、-C=O (1 707  $cm^{-1}$ )、-C=C- (1 616, 1 518  $cm^{-1}$ )等特征吸收峰。 $^1H$ -NMR (400 MHz,  $CDCl_3$ ) 谱显示有7个甲基质子信号  $\delta$  0.67, 0.76, 0.77, 0.82, 0.86, 0.92, 0.97(各3H, s), 2个含氧次甲基质子信号  $\delta$  3.21 (dd,  $J$  = 4.8, 11.4 Hz, H-3) 和 4.67 (t,  $J$  = 2.3 Hz, H-21), 1个C=C双键质子信号  $\delta$  5.32 (brs, H-15), 2个A<sub>2</sub>B<sub>2</sub>模式的亚甲基质子信号  $\delta$  2.91和2.64(各2H, t,  $J$  = 7.6 Hz), 以及1个1,4-二取代苯基质子信号  $\delta$  6.74和7.08(各2H, d,  $J$  = 8.5 Hz)。 $^{13}C$ -NMR (100 MHz,  $CDCl_3$ ) 和DEPT谱显示该化合物含有39个碳: 7个甲基、1个酯羰基、3个sp<sup>2</sup>杂化季碳、5个sp<sup>3</sup>杂化季碳、12个亚甲基、5个sp<sup>2</sup>杂化次甲基、6个sp<sup>3</sup>杂化次甲基。通过查阅文献, 发现该化合物与21 $\alpha$ -hydroxyserrat-14-en-3 $\beta$ -yl-p-dihydrocoumarate<sup>[12]</sup>的氢谱数据相近, 提示化合物**1**含有取代基p-dihydrocoumarate, 且该化合物为石杉型三萜类化合物。HMBC谱中, H-21 ( $\delta_H$  4.67)与C-9' ( $\delta_C$  172.7)相

表1 化合物**1**的 $^1H$ - 和 $^{13}C$ -NMR数据 (400/100 MHz,  $CDCl_3$ )  
Table 1  $^1H$ -NMR and  $^{13}C$ -NMR data of compound **1** (400/100 MHz,  $CDCl_3$ )

碳位	DEPT	$\delta_C$	$\delta_H$
1	$CH_2$	38.6	1.81 (1H, m), 0.98 (1H, m)
2	$CH_2$	27.5	1.64 (1H, m), 2.01 (1H, m)
3	CH	78.9	3.21 dd (1H, dd, $J$ = 11.4, 4.8 Hz)
4	C	39.0	
5	CH	55.7	0.79 (1H, m)
6	$CH_2$	18.9	1.51 (1H, m), 1.42 (1H, m)
7	$CH_2$	45.1	1.40 (1H, m), 1.20 (1H, m)
8	C	37.2	
9	CH	62.9	0.8 (1H, m)
10	C	38.2	
11	$CH_2$	25.2	1.68 (1H, m), 1.05 (1H, m)
12	$CH_2$	27.2	2.01 (1H, m), 1.17 (1H, m)
13	CH	56.9	1.80 (1H, m)
14	C=	138.5	
15	CH=	122.2	5.32 (1H, br s)
16	$CH_2$	23.9	1.99 (2H, m)
17	CH	44.5	1.63 (1H, m)
18	C	35.9	
19	$CH_2$	31.9	1.53 (1H, m), 1.17 (1H, m)
20	$CH_2$	23.0	1.85 (1H, m), 1.62 (1H, m)
21	CH	78.4	4.67 (1H, t, $J$ = 2.3 Hz)
22	C	36.7	
23	$CH_3$	28.1	0.97 (3H, s)
24	$CH_3$	15.4	0.77 (3H, s)
25	$CH_3$	15.9	0.86 (3H, s)
26	$CH_3$	19.9	0.82 (3H, s)
27	$CH_2$	56.2	2.21 (1H, d, $J$ = 14.3 Hz) 1.72 (1H, d, $J$ = 14.3 Hz)
28	$CH_3$	13.2	0.67 (3H, s)
29	$CH_3$	21.4	0.92 (3H, s)
30	$CH_3$	27.3	0.76 (3H, s)
1'	C=	154.0	
2'	CH=	115.3	6.75 (1H, d, $J$ = 8.5 Hz)
3'	CH=	129.4	7.07 (1H, d, $J$ = 8.5 Hz)
4'	C=	132.8	
5'	CH=	129.4	7.07 (1H, d, $J$ = 8.5 Hz)
6'	CH=	115.3	6.75 (1H, d, $J$ = 8.5 Hz)
7'	$CH_2$	30.2	2.91 (2H, t, $J$ = 7.6 Hz)
8'	$CH_2$	36.4	2.64 (2H, t, $J$ = 7.6 Hz)
9'	C=O	172.7	

关, 表明 *p*-dihydrocoumarate 基团在 21 位上, 此外与 H-21 ( $\delta_H$  4.67) 相关的还有 C-17 ( $\delta_C$  44.5)、C-19 ( $\delta_C$  31.9)、C-22 ( $\delta_C$  36.7) 和 C-29 ( $\delta_C$  21.4); 与 H-8' ( $\delta_H$  2.64) 相关的碳有 C-9' ( $\delta_C$  172.7)、C-7' ( $\delta_C$  30.2) 和 C-4' ( $\delta_C$  132.8); 与 H-7' ( $\delta_H$  2.91) 相关的碳有 C-9' ( $\delta_C$  172.7)、C-8' ( $\delta_C$  36.4)、C-4' ( $\delta_C$  132.8) 和 C-3' ( $\delta_C$  129.4); 与 H-3 ( $\delta_H$  3.2) 相关的碳有 C-4 ( $\delta_C$  39.0)、C-24 ( $\delta_C$  15.4) 和 C-23 ( $\delta_C$  28.1), 见图 2。NOESY 谱中, 可以看到 H-3 和 H-23、H-24 和 H-25、H-21 和 H-29、H-29 和 H-28、H-30 和 H-17 相关, 见图 3。因此推断该化合物为千层塔烯二醇-21 $\beta$ -对二氢香豆酸酯, 为 1 个新化合物, 命名为千层塔型香豆酸酯。

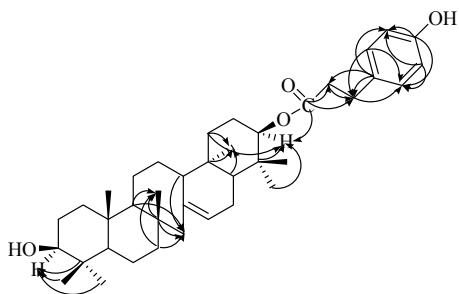


图 2 化合物 1 的重要 HMBC 相关

Fig. 2 Key HMBC correlations of compound 1

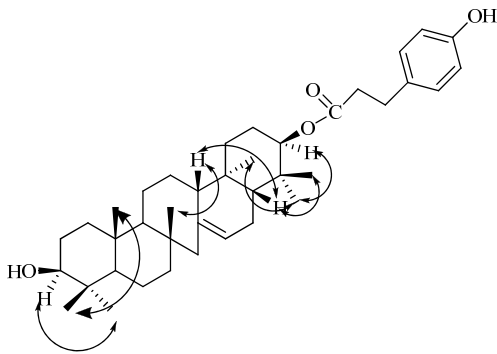


图 3 化合物 1 重要的 NOESY 相关

Fig. 3 Key NOESY correlations of compound 1

**化合物 2:** 白色粉末状固体。EI-MS  $m/z$ : 526 [ $M]^+$ 。 $^1H$ -NMR (400 MHz,  $CDCl_3$ )  $\delta$ : 5.31 (1H, brs, H-15), 4.52 (1H, dd,  $J$  = 5.6, 11.2 Hz, H-21), 4.47 (1H, dd,  $J$  = 5.6, 11.6 Hz, H-3), 2.02 (3H, s, -COCH<sub>3</sub>), 2.01 (3H, s, -COCH<sub>3</sub>), 1.25 (3H, s, H-23), 0.90 (3H, s, H-24), 0.87 (3H, s, H-30), 0.83 (3H, s, H-26), 0.84 (3H, s, H-29), 0.82 (3H, s, H-25), 0.69 (3H, s, H-28);  $^{13}C$ -NMR (100 MHz,  $CDCl_3$ )  $\delta$ : 38.3 (C-1), 29.7 (C-2), 81.1 (C-3), 37.9 (C-4), 55.8 (C-5), 18.8 (C-6),

45.0 (C-7), 37.8 (C-8), 62.7 (C-9), 38.1 (C-10), 27.2 (C-11), 25.3 (C-12), 57.0 (C-13), 138.3 (C-14), 122.0 (C-15), 24.2 (C-16), 49.6 (C-17), 36.0 (C-18), 36.8 (C-19), 23.9 (C-20), 80.8 (C-21), 37.1 (C-22), 28.1 (C-23), 15.8 (C-24), 15.8 (C-25), 16.6 (C-26), 56.0 (C-27), 13.5 (C-28), 27.5 (C-29), 19.8 (C-30), 171.0 (C-31), 21.4 (C-32), 171.1 (C-33), 21.4 (C-34)。以上数据与文献报道基本一致<sup>[13-14]</sup>, 故鉴定化合物 2 为千层塔烯二醇-3,21-二乙酸酯。

**化合物 3:** 白色粉末状固体。EI-MS  $m/z$ : 484 [ $M]^+$ 。 $^1H$ -NMR (400 MHz,  $CDCl_3$ )  $\delta$ : 5.33 (1H, brs, H-15), 4.45 (1H, dd,  $J$  = 5.2, 11.3 Hz, H-3), 3.23 (1H, m, H-21), 2.04 (3H, s, -COCH<sub>3</sub>), 0.96 (3H, s, H-30), 0.85 (3H, s, H-29), 0.84 (3H, s, H-24), 0.83 (3H, s, H-26), 0.83 (3H, s, H-23), 0.82 (3H, s, H-25), 0.67 (3H, s, H-28);  $^{13}C$ -NMR (100 MHz,  $CDCl_3$ )  $\delta$ : 38.3 (C-1), 27.2 (C-2), 80.8 (C-3), 37.1 (C-4), 57.2 (C-5), 18.8 (C-6), 45.0 (C-7), 38.9 (C-8), 62.7 (C-9), 37.9 (C-10), 23.9 (C-11), 27.7 (C-12), 55.8 (C-13), 138.1 (C-14), 122.2 (C-15), 23.8 (C-16), 49.5 (C-17), 37.9 (C-18), 36.1 (C-19), 25.3 (C-20), 79.2 (C-21), 37.1 (C-22), 27.6 (C-23), 14.6 (C-24), 15.8 (C-25), 19.8 (C-26), 56 (C-27), 13.4 (C-28), 16.6 (C-29), 28.1 (C-30), 171.1 (C-31), 21.3 (C-32)。以上数据与文献报道基本一致<sup>[15]</sup>, 故鉴定化合物 3 为千层塔烯二醇-3-乙酸酯。

**化合物 4:** 白色粉末状固体。EI-MS  $m/z$ : 484 [ $M]^+$ 。 $^1H$ -NMR (400 MHz,  $CDCl_3$ )  $\delta$ : 5.34 (1H, brs, H-15), 4.48 (1H, dd,  $J$  = 5.2, 11.3 Hz, H-3), 3.47 (1H, brs, H-21), 2.06 (3H, s, -COCH<sub>3</sub>), 0.96 (3H, s, H-30), 0.91 (3H, s, H-29), 0.90 (3H, s, H-24), 0.86 (3H, s, H-23), 0.84 (3H, s, H-26), 0.83 (3H, s, H-25), 0.71 (3H, s, H-28);  $^{13}C$ -NMR (100 MHz,  $CDCl_3$ )  $\delta$ : 38.3 (C-1), 24.0 (C-2), 80.9 (C-3), 37.1 (C-4), 55.8 (C-5), 18.8 (C-6), 45.0 (C-7), 38.1 (C-8), 62.8 (C-9), 36.0 (C-10), 25.2 (C-11), 27.2 (C-12), 56.9 (C-13), 138.5 (C-14), 122.1 (C-15), 23.9 (C-16), 43.4 (C-17), 37.9 (C-18), 31.2 (C-19), 25.4 (C-20), 76.2 (C-21), 37.5 (C-22), 28.1 (C-23), 16.6 (C-24), 19.8 (C-25), 21.8 (C-26), 56.2 (C-27), 13.3 (C-28), 15.8 (C-29), 27.7 (C-30), 171.1 (C-31), 21.3 (C-32)。以上数据与文献报道基本一致<sup>[16]</sup>, 故鉴定化合物 4 为 21-表千层塔烯二醇-3-乙酸酯。

**化合物 5:** 白色粉末状固体。EI-MS  $m/z$ : 458 [M]<sup>+</sup>。<sup>1</sup>H-NMR (400 MHz, C<sub>5</sub>D<sub>5</sub>N)  $\delta$ : 5.35 (1H, brs, H-15), 4.52 (1H, brs, H-3), 4.10, 3.86 (各 1H, d,  $J$  = 10.4 Hz, H-24), 3.55 (1H, s, H-21), 1.48 (3H, s, H-23), 1.12 (3H, s, H-30), 0.80 (3H, s, H-29), 0.77 (3H, s, H-25), 0.75 (3H, s, H-26), 0.72 (3H, s, H-28); <sup>13</sup>C-NMR (100 MHz, C<sub>5</sub>D<sub>5</sub>N)  $\delta$ : 33.9 (C-1), 26.7 (C-2), 69.8 (C-3), 43.7 (C-4), 49.6 (C-5), 19.3 (C-6), 45.4 (C-7), 38.3 (C-8), 62.9 (C-9), 38.7 (C-10), 25.7 (C-11), 27.5 (C-12), 57.4 (C-13), 139.1 (C-14), 122.8 (C-15), 24.5 (C-16), 44.8 (C-17), 36.4 (C-18), 31.9 (C-19), 26.8 (C-20), 75.2 (C-21), 37.7 (C-22), 23.1 (C-23), 65.1 (C-24), 16.1 (C-25), 20.2 (C-26), 56.9 (C-27), 14.7 (C-28), 22.7 (C-29), 29.4 (C-30)。以上数据与文献报道基本一致<sup>[17]</sup>, 故鉴定化合物 5 为 3 $\alpha$ ,21 $\beta$ ,24-千层塔烯三醇。

**化合物 6:** 白色粉末状固体。EI-MS  $m/z$ : 442 [M]<sup>+</sup>。<sup>1</sup>H-NMR (400 MHz, CDCl<sub>3</sub>)  $\delta$ : 5.35 (1H, brs, H-15), 3.47 (1H, brs, H-21), 3.22 (1H, m, H-21), 0.99 (3H, s), 0.96 (3H, s, H-23), 0.91 (3H, s, H-30), 0.84 (3H, s, H-26), 0.82 (3H, s, H-25), 0.79 (3H, s, H-24), 0.71 (3H, s, H-28); <sup>13</sup>C-NMR (100 MHz, CDCl<sub>3</sub>)  $\delta$ : 38.6 (C-1), 25.2 (C-2), 78.9 (C-3), 38.2 (C-4), 55.7 (C-5), 18.9 (C-6), 45.2 (C-7), 39.0 (C-8), 56.9 (C-9), 35.9 (C-10), 25.4 (C-11), 27.2 (C-12), 62.9 (C-13), 138.5 (C-14), 122.1 (C-15), 24.0 (C-16), 43.4 (C-17), 37.1 (C-18), 31.2 (C-19), 27.6 (C-20), 76.2 (C-21), 37.5 (C-22), 15.8 (C-23), 19.8 (C-24), 28.1 (C-25), 15.4 (C-26), 56.2 (C-27), 13.3 (C-28), 27.7 (C-29), 21.8 (C-30)。以上数据与文献报道基本一致<sup>[14]</sup>, 故鉴定化合物 6 为 21-表千层塔烯二醇。

**化合物 7:** 白色粉末状固体。EI-MS  $m/z$ : 442 [M]<sup>+</sup>。<sup>1</sup>H-NMR (600 MHz, CDCl<sub>3</sub>)  $\delta$ : 5.35 (1H, s, H-15), 3.25 (1H, m, H-21), 3.20 (1H, m, H-3), 2.20 (1H, m, H-27a), 1.75 (1H, m, H-27b), 1.59 (3H, s, H-30), 0.97 (3H, s, H-23), 0.96 (3H, s, H-24), 0.83 (3H, s, H-26), 0.80 (3H, s, H-25), 0.76 (3H, s, H-29), 0.68 (3H, s, H-28); <sup>13</sup>C-NMR (100 MHz, CDCl<sub>3</sub>)  $\delta$ : 38.7 (C-1), 27.8 (C-2), 78.9 (C-3), 39.0 (C-4), 55.8 (C-5), 19.0 (C-6), 45.3 (C-7), 37.2 (C-8), 62.9 (C-9), 38.3 (C-10), 25.4 (C-11), 27.4 (C-12), 57.3 (C-13), 138.3 (C-14), 122.3 (C-15), 24.2 (C-16), 49.6 (C-17), 36.3 (C-18), 37.3 (C-19), 27.7 (C-20), 79.3 (C-21),

39.1 (C-22), 15.6 (C-23), 28.2 (C-24), 15.9 (C-25), 19.9 (C-26), 56.2 (C-27), 13.5 (C-28), 14.7 (C-29), 27.7 (C-30)。以上数据与文献报道基本一致<sup>[18-19]</sup>, 故鉴定化合物 7 为千层塔烯二醇。

**化合物 8:** 白色粉末状固体。ESI-MS  $m/z$ : 457 [M+H]<sup>+</sup>。<sup>1</sup>H-NMR (400 MHz, C<sub>5</sub>D<sub>5</sub>N)  $\delta$ : 5.92 (1H, s, H-15), 3.58 (1H, brs, H-3), 3.60 (1H, brs, H-21), 3.02 (1H, s, H-17), 1.69 (3H, s, H-30), 1.36 (3H, s, H-29), 1.18 (3H, s, H-23), 0.89 (3H, s, H-24), 0.87 (3H, s, H-28), 0.82 (3H, s, H-25), 0.73 (3H, s, H-26); <sup>13</sup>C-NMR (100 MHz, C<sub>5</sub>D<sub>5</sub>N)  $\delta$ : 33.5 (C-1), 26.4 (C-2), 75.6 (C-3), 38.4 (C-4), 49.1 (C-5), 18.8 (C-6), 45.0 (C-7), 38.0 (C-8), 62.2 (C-9), 37.9 (C-10), 24.9 (C-11), 26.4 (C-12), 59.3 (C-13), 163.5 (C-14), 128.7 (C-15), 201.1 (C-16), 58.8 (C-17), 44.4 (C-18), 31.7 (C-19), 25.6 (C-20), 74.8 (C-21), 37.3 (C-22), 29.1 (C-23), 22.3 (C-24), 15.7 (C-25), 19.8 (C-26), 55.8 (C-27), 14.9 (C-28), 21.9 (C-29), 28.8 (C-30)。以上数据与文献报道基本一致<sup>[20]</sup>, 故鉴定化合物 8 为 16-羰基-3 $\alpha$ ,21 $\beta$ -千层塔烯二醇。

**化合物 9:** 白色粉末状固体。EI-MS  $m/z$ : 458 [M]<sup>+</sup>。<sup>1</sup>H-NMR (400 MHz, C<sub>5</sub>D<sub>5</sub>N)  $\delta$ : 5.45 (1H, s, H-15), 1.52 (3H, s, H-23), 1.14 (3H, s, H-30), 0.93 (3H, s, H-29), 0.80 (3H, s, H-25), 0.78 (3H, s, H-26), 0.77 (3H, s, H-28); <sup>13</sup>C-NMR (100 MHz, C<sub>5</sub>D<sub>5</sub>N)  $\delta$ : 39.2 (C-1), 29.2 (C-2), 80.4 (C-3), 43.7 (C-4), 57.0 (C-5), 20.0 (C-6), 46.2 (C-7), 38.4 (C-8), 63.3 (C-9), 38.5 (C-10), 25.8 (C-11), 28.1 (C-12), 57.8 (C-13), 139.3 (C-14), 123.2 (C-15), 24.9 (C-16), 44.1 (C-17), 36.8 (C-18), 32.2 (C-19), 27.0 (C-20), 75.6 (C-21), 37.8 (C-22), 24.0 (C-23), 64.9 (C-24), 16.9 (C-25), 20.3 (C-26), 56.9 (C-27), 14.2 (C-28), 22.5 (C-29), 29.1 (C-30)。以上数据与文献报道基本一致<sup>[21]</sup>, 故鉴定化合物 9 为 3 $\beta$ ,21 $\beta$ ,24-千层塔烯三醇。

**化合物 10:** 白色粉末状固体。ESI-MS  $m/z$ : 473 [M+H]<sup>+</sup>。<sup>1</sup>H-NMR (400 MHz, C<sub>5</sub>D<sub>5</sub>N)  $\delta$ : 5.92 (1H, brs, H-15), 4.43 (1H, brs, H-3), 4.08 (1H, d,  $J$  = 10.8 Hz), 3.86 (1H, d,  $J$  = 10.8 Hz), 3.56 (1H, brs, H-21), 3.01 (1H, s, H-17), 1.69 (3H, s, H-30), 1.58 (3H, s, H-23), 1.35 (3H, s, H-29), 0.88 (3H, s, H-25), 0.87 (3H, s, H-28), 0.72 (3H, s, H-26); <sup>13</sup>C-NMR (100 MHz, C<sub>5</sub>D<sub>5</sub>N)  $\delta$ : 34.2 (C-1), 27.0 (C-2), 70.0 (C-3), 44.3 (C-4), 50.3 (C-5), 19.6 (C-6), 45.9 (C-7), 38.3

(C-8), 62.8 (C-9), 38.7 (C-10), 25.3 (C-11), 26.9 (C-12), 58.2 (C-13), 163.8 (C-14), 129.1 (C-15), 201.5 (C-16), 59.6 (C-17), 44.8 (C-18), 32.1 (C-19), 26.0 (C-20), 76.0 (C-21), 37.7 (C-22), 23.8 (C-23), 65.84 (C-24), 16.7 (C-25), 20.1 (C-26), 56.1 (C-27), 15.3 (C-28), 22.3 (C-29), 29.2 (C-30)。以上数据与文献报道基本一致<sup>[22]</sup>, 故鉴定化合物 **10** 为 16-羧基-3 $\alpha$ ,21 $\beta$ ,24-千层塔烯三醇。

**化合物 11:** 浅黄色粉末状固体。ESI-MS *m/z*: 183 [M-H]<sup>-</sup>。<sup>1</sup>H-NMR (400 MHz, CD<sub>3</sub>OD)  $\delta$ : 6.75 (1H, d, *J* = 8.2 Hz, H-2), 7.27 (1H, t, *J* = 8.1 Hz, H-3), 7.05 (1H, d, *J* = 8.0 Hz, H-4), 8.11 (1H, d, *J* = 7.6 Hz, H-5), 7.33 (1H, td, *J* = 7.6, 0.9 Hz, H-6), 7.42 (1H, td, *J* = 7.4, 1.3 Hz, H-7)。以上数据与文献报道基本一致<sup>[23]</sup>, 故鉴定化合物 **11** 为 1-羟基二苯并呋喃醇。

#### 参考文献

- [1] 林如辉, 刘美龙. 中草药蛇足石杉的研究概况 [J]. 海峡药学, 2013, 25(9): 21-25.
- [2] 郭斌, 徐玲玲, 尉亚辉, 等. 千层塔的研究进展 [J]. 中国中药杂志, 2009, 34(16): 2018-2023.
- [3] 杨国勋, 殷毅, 胡长玲, 等. 湖北产石松千层塔烯(serratene)三萜化学成分的研究 [J]. 中草药, 2014, 45(24): 3524-3527.
- [4] Tanaka R, Minami T, Tsujimoto K, et al. Cancer chemopreventive agents, serratane-type triterpenoids from *Picea jezoensis* [J]. *Cancer Lett*, 2001, 172(2): 119-126.
- [5] Tanaka R, Minami T, Ishikawa Y, et al. Cancer chemopreventive activity of serratane-type triterpenoids on two-stage mouse skin carcinogenesis [J]. *Cancer Lett*, 2003, 196(2): 121-126.
- [6] Tanaka R, Ishikawa Y, Minami T, et al. Two new anti-tumor promoting serratane-type triterpenoids from the stem bark of *Picea jezoensis* var. *jezoensis* [J]. *Planta Med*, 2003, 69(11): 1041-1047.
- [7] Tanaka R. Compositions having tumor cell killing activity containing serratane triterpenoids: JP, 2004115408 A [P]. 2004-04-15.
- [8] Ham Y M, Yoon W J, Park S Y, et al. Investigation of the component of *Lycopodium serratum* extract that inhibits proliferation and mediates apoptosis of human HL-60 leukemia cells [J]. *Food Chem Toxicol*, 2012, 50(8): 2629-2634.
- [9] Doi K, Sakai K, Tanaka R, et al. Chemopreventive effects of 13 $\alpha$ ,14 $\alpha$ -epoxy-3 $\beta$ -methoxyserratan-21 $\beta$ -ol (PJJ-34), a serratane-type triterpenoid, in a rat multi-organ carcinogenesis bioassay [J]. *Cancer Lett*, 2010, 289(2): 161-169.
- [10] Yamaguchi C, Wanibuchi H, Kakehashi A, et al. Chemopreventive effects of a serratane-type triterpenoid, 3 $\alpha$ -methoxyserrat-14-en-21 $\beta$ -ol (PJ-1), against rat lung carcinogenesis [J]. *Food Chem Toxicol*, 2008, 46(6): 1882-1888.
- [11] 王朝元, 唐俊龙, 魏甜甜, 等. 山芝烯二醇对体外培养成骨细胞成骨活性的影响 [J]. 中南民族大学学报: 自然科学版, 2012, 31(3): 33-37.
- [12] Zhou H, Tan C H, Jiang S H, et al. Serratene-type triterpenoids from *Huperzia serrata* [J]. *J Nat Prod*, 2003, 66(10): 1328-1332.
- [13] Chernenko G F, Bagryanskaya I Y, Gatilov Y V, et al. Polyfunctional triterpenoids from the bark of *Yeddo spruce* [J]. *Chem Nat Compd*, 1992, 28(6): 575-579.
- [14] Fang J M, Tsai W Y, Cheng Y S. Serratene triterpenes from *Pinus armandii* bark [J]. *Phytochemistry*, 1991, 30(4): 1333-1336.
- [15] 李齐激, 邹娟, 李继新, 等. 昆明石杉中非生物碱类成分研究 [J]. 中成药, 2013, 35(6): 1240-1243.
- [16] 李军, 韩燕艺, 刘嘉森. 千层塔中三萜成分的研究 [J]. 药学学报, 1988, 23(7): 549-552.
- [17] Seto H, Furukata K, Guangyi X, et al. Assignments of the <sup>1</sup>H- and <sup>13</sup>C-NMR spectra of four lycopodium triterpenoids by the application of a new two-dimensional technique, heteronuclear multiple bond connectivity (HMBC) [J]. *Agric Biol Chem*, 1988, 52(7): 1797-1801.
- [18] 邓铁忠, 艾勇, 陈玉, 等. 玉柏石松三萜成分研究 [J]. 药学学报, 2009, 44(8): 891-894.
- [19] 裴栋, 张敬杰, 李齐激, 等. 长柄石杉中 Serratene 三萜成分的研究 [J]. 时珍国医国药, 2011, 22(9): 2233-2234.
- [20] 周慧. 蛇足石杉中性三萜成分的研究和滇西乌头生物碱的研究 [D]. 上海: 中国科学院药物研究所, 2002.
- [21] Zhou H, Li Y S, Tong X T, et al. Serratane-type triterpenoids from *Huperzia serrata* [J]. *Nat Prod Res*, 2004, 18(5): 453-459.
- [22] Zhang Z, ElSohly H N, Jacob M R, et al. Natural products inhibiting *Candida albicans* secreted aspartic proteases from *Lycopodium cernuum* [J]. *J Nat Prod*, 2002, 65(7): 979-985.
- [23] Shindo K, Ohnishi Y, Chun H K, et al. Oxygenation reactions of various tricyclic fused aromatic compounds using *Escherichia coli* and *Streptomyces lividans* transformants carrying several arene dioxygenase genes [J]. *Biosci Biotechnol Biochem*, 2001, 65(11): 2472-2481.